

00112 000112
1

地球物理勘探专辑

第 6 輯

重力位高次导数

黃緒德 赵雪青等 譯



中国工业出版社

地球物理勘探专輯

第 6 輯

重力位高次导数

黃緒德 赵雪濤等譯

中国工业出版社

本文集共收集了12篇文章，約可分为三部分。第一部分包括 Th. A. 艾勒金斯 (Elkins)、O. 罗森巴赫 (Rosenbach) 和 R.G. 亨德尔森、I. 吉茨的关于重力位二次导数法的經典性著作；第二部分是关于选择量板参数、各种公式的比較和精度評价的討論；最后举了一些实例，阐明重力位高次导数的定性和定量解釋的概念。

本书可供从事重力勘探的地球物理探矿工作者参考。

地球物理勘探专輯

第 6 輯

重力位高次导数

黃緒德 赵雪濤等譯

*

地质部地质书刊編輯部編輯 (北京西四角市大衛地質部院內)

中国工业出版社出版 (北京崇文門西大街10号)

北京市书刊出版业营业許可证出字第110号

中国工业出版社第四印刷厂印刷

新华书店北京发行所发行·各地新华书店經售

*

开本787×1092 1/25·印张6¹⁶/25·字数130,000

1964年12月北京第一版·1964年12月北京第一次印刷

印数0001—2,050·定价 (科七) 1.00元

*

统一书号：15165·3235 (地质-287)

序 言

重力位高次导数在重力勘探中的应用已日益广泛。这种方法的优越性在于能够使較深、較大的地质体的影响减弱，而把勘探目的所要求的較浅、較小的地质体的异常明显地反映出来。因此在石油勘探中，可用以更好地发现和反映局部构造的异常；在金属矿的普查勘探中，对于圈定矿体也有一定作用。但是它能否取得良好的效果，主要决定于高次导数异常的精确程度。这与原始重力图的精度，以及计算时量板参数的选择都有直接关系。本文集收集了十二篇有关重力位高次导数的論文，根据內容大致可以划分为三部分：第一部分包括Th.A. 艾勒金斯、O. 罗森巴赫以及 R. G. 亨德尔森和 I. 吉茨的經典著作；第二部分是关于选择量板参数，各种公式的比較和精度評价的討論；最后举出了一些实例，阐明重力位高次导数的定性和定量解释的概念。我們希望这本小册子能对重力資料的解释工作有所帮助，但由于時間和水平的限制，本文集一定还有不足之处，希望讀者提出意見加以指正。

譯者

目 录

- 重力解釋的二次導數法 Th. A. 艾勒金斯 (1)
關於重力“二次導數”的計算 O. 羅森巴赫 (24)
地磁場垂直二次導數的計算 R. G. 亨德爾森, I. 吉茨 (46)
重力勘探中劃分區域異常和局部異常的量板研究
..... И. Г. 克卢申 (57)
重力異常垂直二次導數的計算及其對確定異常質量的應用
..... M. У. 薩給托夫 (72)
根據布格異常計算重力位的高次導數 A. A. 謝爾然特 (89)
各次重力導數在重力資料解釋中的特點 O. A. 什萬克 (102)
重力異常垂直一次和二次導數的計算 O. A. 什萬克 (110)
重力異常二次導數計算的合理性
..... В. И. 阿羅諾夫, Р. Ф. 沃洛達爾斯基 (123)
關於計算重力異常二次導數的問題 Н. И. 帕甫連科娃 (129)
論地球物理場位的垂直三次導數
..... Л. Н. 耶蘭斯基, С. В. 帕維利耶夫 (143)
重力垂直梯度異常的地质解釋問題 И. Г. 克卢申 (156)

重力解释的二次导数法①

Th. A. 艾勒金斯

二次导数的重要性

本文所討論的二次导数乃是重力的二次垂直导数，更确切地说，是以重力仪和摆仪所测定的重力的垂直分量的二次垂直导数。若以符号 g 表示重力，并选取座标，使 z 垂直向下，则二次导数即为 $\partial^2 g / \partial z^2$ 。

二次导数用于解释重力資料的重要性在于深度的两次微分往往有助于突出隐藏在巨大的区域背景上的比較小的近地表地质异常。所以二次导数图通常能为油田或金属矿勘探的重要异常类型提供比原有的重力图更为清楚而明确的图景。

正是为了这个原因，早在1935年，当已經能够获得具有足够精度的重力資料时，在Gulf研究所就开始了将二次导数应用于重力資料方面的研究。进行常規的二次导数計算是在1936年开始的。本文并不准备对这项工作做全面的叙述，而只希望結合某些重要油区的实例說明几个有用的基本要点。

基本理論——三度情况

二次导数的基本理論虽然已經发表（彼得斯，1949），但当时它只是作为向下延拓理論的一个副产物出現的。因此看来值得在一个独立的基础上提出二次导数的基本理論，以便那些可能并不希望仅仅了解一般理論的人們加以应用。

① Thomas A. Elkins, "The Second Derivative Method of Gravity Interpretation" Geophysics XVI, 1951.

虽然我們只將在重力資料中应用二次导数，但是这里提出的理論却可以用于任何調和函数 $H(x, y, z)$ ，亦即任何在原点附近滿足于拉普拉斯方程

$$\frac{\partial^2 H}{\partial x^2} + \frac{\partial^2 H}{\partial y^2} + \frac{\partial^2 H}{\partial z^2} = 0 \quad (1)$$

的連續二次导数，这里如已在 $z=0$ 之平面上有足够資料，我們的任务是在原点 $(0, 0, 0)$ 处求出二次垂直导数的数值 $(\partial^2 H / \partial H^2)_{x=y=z=0}$ 。

讓我們以下列方程式求函数 $\bar{H}(r, z)$ ：

$$\bar{H}(r, z) = \frac{1}{2\pi} \int_0^{2\pi} H(r \cos \theta, r \sin \theta, z) d\theta. \quad (2)$$

当 $z=0$ 时， $\bar{H}(r, z)$ 以 $\bar{H}(r)$ 表示之

$$\bar{H}(r) = \frac{1}{2\pi} \int_0^{2\pi} H(r \cos \theta, r \sin \theta, 0) d\theta. \quad (3)$$

$\bar{H}(r)$ 是在 $z=0$ 的平面上，以原点为中心、以 r 为半径的圆周上 $H(x, y, z)$ 的平均值。既然 $H(x, y, z)$ 在原点附近为一調和函数，故可在原点处展开为一个 x, y, z 变数的收敛幂級数。因此， $\bar{H}(r)$ 亦可展开为 r (接近 $r=0$) 的幂級数，即

$$\bar{H}(r) = a_0 + a_2 r^2 + a_4 r^4 + \dots, \quad (4)$$

式中沒有 r 的各奇次項，因为在 (3) 式之积分中，由于 $\sin \theta$ 及 $\cos \theta$ 之周期为 2π ，故 $m+n$ 为奇数之 $\sin^m \theta \cos^n \theta$ 各項积分为零。

我們是用 $\bar{H}(r)$ 来計算 $H(x, y, z)$ 的二次垂直导数的。从(1)式，得

$$\frac{\partial^2 H}{\partial z^2} = - \left(\frac{\partial^2 H}{\partial x^2} + \frac{\partial^2 H}{\partial y^2} \right).$$

将 $x=r \cos \theta, y=r \sin \theta$ 代入，得

$$\frac{\partial^2 H}{\partial z^2} = - \left(\frac{\partial^2}{\partial r^2} + \frac{1}{r} \frac{\partial}{\partial r} + \frac{1}{r^2} \frac{\partial^2}{\partial \theta^2} \right) H. \quad (5)$$

将 (5) 式两边对 θ 积分 (自 $0 \rightarrow 2\pi$)，則当 $r > 0$ 时，

$$\int_0^{2\pi} \frac{\partial^2 H}{\partial z^2} d\theta = - \left(\frac{\partial^2}{\partial r^2} + \frac{1}{r} \frac{\partial}{\partial r} \right) \int_0^{2\pi} H d\theta - \frac{1}{r^2} \int_0^{2\pi} \frac{\partial^2 H}{\partial \theta^2} d\theta.$$

最后一项积分为

$$-\frac{1}{r^2} \left[\frac{\partial H}{\partial \theta} \right]_0^{2\pi}.$$

因 $\partial H / \partial \theta$ 为级数，其中 θ 仅以 $\sin^m \theta$ 或 $\cos^n \theta$ 的形式出现 (m, n 均为整数，其中之一可为 0)，故此项为 0。因此，

$$\int_0^{2\pi} \frac{\partial^2 H}{\partial z^2} d\theta = - \left(\frac{\partial^2}{\partial r^2} + \frac{1}{r} \frac{\partial}{\partial r} \right) \int_0^{2\pi} H(r \cos \theta, \sin \theta, z) d\theta. \quad (6)$$

如令 (6) 中 $z=0$ ，则有

$$\begin{aligned} & \frac{1}{2\pi} \int_0^{2\pi} \left[\frac{\partial^2 H(r \cos \theta, r \sin \theta, z)}{\partial z^2} \right]_{z=0} d\theta \\ &= - \frac{1}{2\pi} \left(\frac{\partial^2}{\partial r^2} + \frac{1}{r} \frac{\partial}{\partial r} \right) \int_0^{2\pi} H(r \cos \theta, \sin \theta, 0) d\theta \\ &= - \left(\frac{\partial^2}{\partial r^2} + \frac{1}{r} \frac{\partial}{\partial r} \right) \overline{H}(r). \end{aligned} \quad (7)$$

若在 (7) 式中令 r 接近于零，并应用 (4) 式，即得

$$\begin{aligned} & \frac{1}{2\pi} \int_0^{2\pi} \left[\frac{\partial^2 H(r \cos \theta, r \sin \theta, z)}{\partial z^2} \right]_{r=z=0} d\theta \\ &= \left[\frac{\partial^2 H(x, y, z)}{\partial z^2} \right]_{x=y=z=0} \\ &= \left[- \left(\frac{\partial^2}{\partial r^2} + \frac{1}{r} \frac{\partial}{\partial r} \right) \overline{H}(r) \right]_{r=0} = -4a_2, \end{aligned}$$

故得基本方程：

$$\left[\frac{\partial^2 H(x, y, z)}{\partial z^2} \right]_{x=y=z=0} = -4a_2. \quad (8)$$

应用此式可立即借图解法求出二次导数。因为假若在 $z=0$ 平面上取某一点 P 作为圆心，并在此平面上以 r 为半径之圆周上将 H 之平

均值标绘为纵轴，以 r^2 为横轴，画一曲线 $\bar{H}(r^2)$ ，则此曲线之斜率即为 \bar{H} 对 r^2 之导数。据(4)式可知此位于原点处之曲线斜率即为 a_2 值，故在求 P 点处之 $\partial^2 H / \partial z^2$ 时，只需将原点处此曲线之斜率再乘以-4。

基本原理——二度情况

在二度体时，势函数不包含某一水平方向之座标，如 y 。因为此时拉普拉斯方程变为

$$\frac{\partial^2 H}{\partial x^2} + \frac{\partial^2 H}{\partial z^2} = 0,$$

故得出

$$\frac{\partial^2 H}{\partial z^2} = -\frac{\partial^2 H}{\partial x^2}. \quad (9)$$

因此可以将二次垂直导数作为某一剖面上（其 y 之数值不变）二次水平导数的负值加以计算。虽然看来可以用同样的方法计算二度体和三度体，但是实际上，严格的二度体并不存在，因为一切地质体的长度必然都有限。因此，我们将采用三度体法来计算二度体，并证明可以得出正确结果。这也就是说，我们不用简单二度体剖面的数据，而是假想当整个剖而在 y 轴方向上平行移动时，水平面上完全布满着这个剖面上的数值。

既然在二度情形中 $H(x, y, z)$ 被假定为变数 x 与 z 之调和函数，而与 y 无关，则在原点附近的 x 很小的范围内可有下列展开式：

$$H(x, y, 0) = b_0 + b_1 x + b_2 x^2 + \dots \dots \quad (10)$$

此式中无 y 项，因其为二度体之情况。继之由(9)式有

$$b_2 = \frac{1}{2} \left[\frac{\partial^2 H}{\partial x^2} \right]_{x=y=z=0} = -\frac{1}{2} \left[\frac{\partial^2 H}{\partial z^2} \right]_{x=y=z=0}. \quad (11)$$

代入 $x=r \cos \theta$, $y=r \sin \theta$ 后，(10)式即变为

$$H(x, y, z) = b_0 + b_1 r \cos \theta + b_2 r^2 \cos^2 \theta + \dots \dots$$

而(3)式之积分即为：

$$\bar{H}(r) = b_0 + \frac{b_2 r^2}{2} + \dots \dots \quad (12)$$

即得徑向展开式 $\bar{H}(r)$ 。按照三度理論的基本方程(8)，原点处之二次导数可由取 $\bar{H}(r)$ 式中 r^2 之系数乘以 -4 而得出。但此量值应等于 $-4(b_2/2) = -2b_2$ ，由(11)式可知此值等于 $[\partial^2 H / \partial z^2]_{x=y=z=0}$ 系正确无誤，因此只需对二度体数据机械地施以三度計算即可得出正确之結果。可見，三度体法用于二度是可以的。

圓周平均重力值

由于計算重力二次导数的图解法是以(4)式所表示的圓周平均重力为依据的，因此应当首先对二度及三度体质量异常的基本类型，即无限水平圆柱体及球体，分别进行定量研究。

无限水平圆柱体的圓周平均重力

令 d 为圆柱体轴心深
度， g_∞ 为极大重力值。假定 O 为欲求之圓周平均重力值之点。当 O 正位于圆柱軸之上方时，以图 1 之符号表示，圓周平均重力值 $\bar{g}(r)$ 即为：

$$\begin{aligned}\bar{g}(r) &= \frac{1}{2\pi} \int_0^{2\pi} \frac{d^2 g_\infty d\theta}{x^2 + d^2} = \frac{1}{2\pi} \int_0^{2\pi} \frac{d^2 g_\infty d\theta}{d^2 + r^2 \cos^2 \theta} = \\ &= \frac{g_\infty}{\sqrt{1 + (r/d)^2}}.\end{aligned}$$

在图 2 中 $b=0$ 之曲綫即根据此方程绘出。

若 O 不在軸心上，假設軸綫之投影通过 $(b, 0)$ 点，则：

$$\begin{aligned}\bar{g}(r) &= \frac{1}{2\pi} \int_0^{2\pi} \frac{d^2 g_\infty d\theta}{d^2 + b^2 - 2br \cos \theta + r^2 \cos^2 \theta} = \\ &= \frac{g_\infty \sqrt{1 + k^2 y_1}}{\sqrt{(1 + k^2 + m^2)^2 - 4m^2 k^2}},\end{aligned}$$

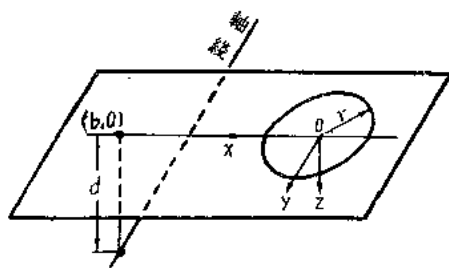


图 1 无限水平圆柱体示意图

其中, $k = r/d$, $m = b/d$, 而 y_1 則是下式中 μ 的正根:

$$k^2 \mu^2 - (k^2 - m^2 - 1) \mu - 1 = 0.$$

图 2 中 $b = 0, 0.4d$ 及 $b = d$ 之各曲綫均根据此方程式绘出。

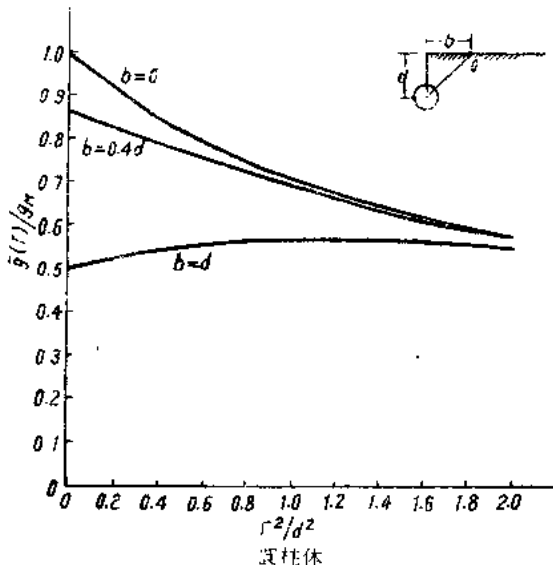


图 2 水平无限圆柱体之圆周平均重力 $\bar{g}(r)$ 剖面。
平均值均在 (水平面上) 以 O 为圆心、 r 为半径之圆周
附近; g_{\max} 为重力极大值

球体的圆周平均重力

令 d 为球心之深度, g_{\max} 为重力极大值, 若 O 点正位于球心 P 上方, 則:

$$\bar{g}(r) = \frac{d^3 g_{\max}}{(r^2 + d^2)^{\frac{3}{2}}}.$$

图 3 中之 $b = 0$ 曲綫系由此式绘出。

假若 O 点不在球心上方, 則如图 4 所示取座标系, 使 P 之投影为 $(0, b)$, 則:

$$\bar{g}(r) = \frac{1}{2\pi} \int_0^{2\pi} \frac{d^3 g_{\max} d\theta}{[d^2 + r^2 \cos^2 \theta + (r \sin \theta - b)^2]^{\frac{3}{2}}} =$$

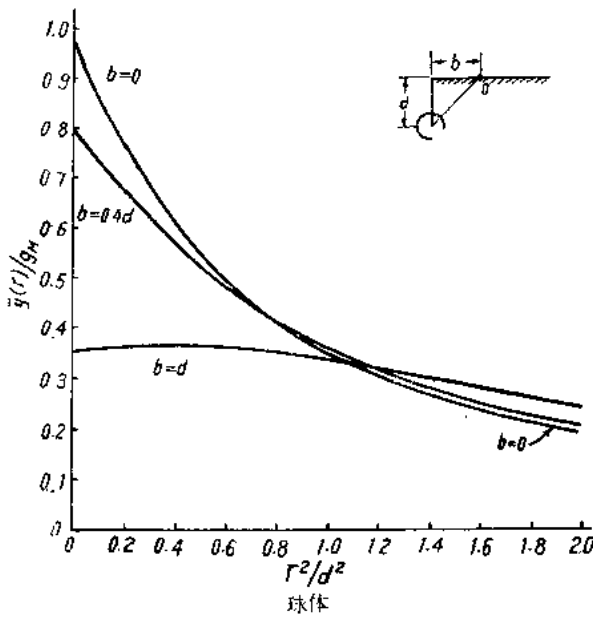


图 3 球体之圆周平均重力剖面。平均值均在（水平面上）以O为中心、以 r 为半径之圆周附近； g_{\max} 为重力极大值

$$= \frac{2d^3 g_{\max} E\left(\sqrt{\frac{4br}{d^2 + (r-b)^2}}\right)}{\pi [d^2 + (r-b)^2]^{1/2} [d^2 + (r+b)^2]^{1/2}}.$$

式中 $E(k)$ 为第二类椭圆全积分，其模数即为 k 。图 3 中之 $b=0.4d$ 及 $b=d$ 曲线即根据此方程式绘出。

图解法中误差的原因

現在，我們將用这些平均值曲线来討論用图解法計算二次导数的两个引起误差的原因。

第一个原因是由于在实际工作中应用了网格排列的重力值来确定平均值曲线，这样做时，往往还结合使用一种带有按网格打成洞眼的

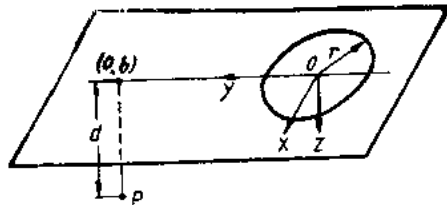


图 4 球体示意图

量板。用这种方法只能在我們欲求的曲綫上得到几个精度不高的孤立的点，因为用这种量板在所用各半径的圓周上讀出的点数是不多的。这种誤差可以用增加圈数及各圈上点数的办法来使之降低。为了以图解的方式說明可能会因使用某种网格系統而产生的誤差，图 5 中引用了图 2 的一部分，其中仍然是以网格方式算出之平均值。圓柱之重力最大值为1.5毫伽，圓柱的軸心深度为15,000呎。各平均值均用四个对称排列的点。两条平均值曲綫是計算出来的，一个采用精度为0.1毫伽的重力值，另一个則采用精度达0.01毫伽的数值。同一图中还同样根据图3绘出重力极大值为1.5毫伽、距球心深15,000呎的球体的类似曲綫。可以看出，利用精度达0.01毫伽的重力資料（其最大可能誤差为极大值之0.3%）算得之平均值是接近于真值的；而利用精度达0.1毫伽的重力数据（其最大可能誤差为极大值之3%）算出之平均值則往往不然。

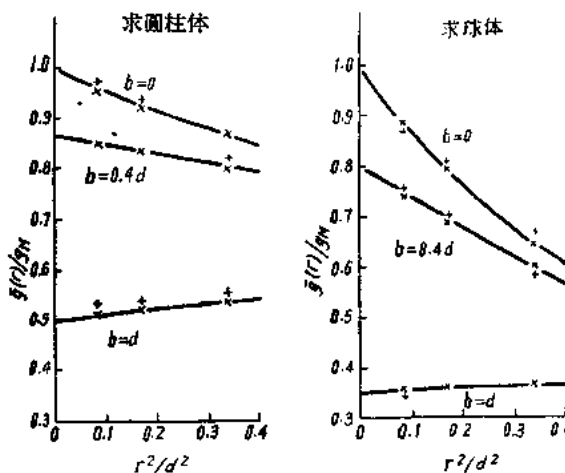


图 5 应用网格量板求得之平均径向重力值（引自图

2 及 3，分别标繪于剖面上以便比較）

“+”表示取自精度达0.01毫伽之网格；

“x”表示取自精度达0.1毫伽之网格

另一种誤差之所以发生是因为平均值曲綫是非綫性的，这是比較麻烦的。如果平均径向曲綫（对于 r^2 ）在原点附近的部分十分接近于

直綫，則即可容易地作出正确的切綫。然而即使数据极为精确，而且网格亦很好，曲綫的这一部分也仍旧可能是肯定弯曲的（如图3中 $b=d$ 的曲綫）。也就是说，即使理論曲綫也只有在距离原点很小一段距离内才是直綫。遺憾的是，种种經濟上的考慮以及重力測量的“干扰水平”均規定測点的起碼間距，使得甚至在距原点几乎为最小的距离内也难以将此曲綫确定。因此这显然是一个引起誤差的根本性的原因。

研究这类誤差时，应用了上述研究网格影响的同一球体实例。球心正上方之点即为曾在該点附近計算平均值之点。在最大限度地减小非綫性影响时，仅用了第一圈。根据(8)式，縱座标等于原点重力值与第一圈平均值二者之差的四倍，应当近似于以某一单位表示之二次导数值，至于何种单位在这里恰好是无足輕重的。該单位可能与該圈半径的平方成反比，但是所有具有相同半径的縱座标都是可以比較的，这对我们目前所要解决的問題來說，已經足够了。这些縱座标即将由下表列出。半径距离均采用厘米比例尺，1吋=4,000 瓦拉①；球

圆半径 (厘米)	縱座标 (单位为0.1毫伽)			
	精 确 的		给出精确 $\partial^2 g / \partial z^2$ 的数值	用网格求出之值
	理 论 值			g 值精度达0.1毫伽
0.5	1.86		1.91	0
1	6.91		7.65	8
$\sqrt{2}$	12.60		15.31	12
2	21.33		30.62	20

心深度按此比例尺应为3,429厘米。将表中之2、3行作一比較显然可見非綫性的影响。这里也可看出对精度为0.01毫伽作网格計算之优越性。

图解法之等效数字系数

以数字系数方法計算二次导数的基本觀念早已发表（彼得斯，

① 瓦拉 (vara) 系西班牙长度单位，在当地約等于33.38吋，而在其它如巴西、葡萄牙等地均有不同之比值。

1949)。这里将討論方法所固有的多变性。我們所以称之为图解法之等效方法，是因为对任何可能用来绘出切綫或其它最为切合的直綫几何作图法，都可以导出一个解析的公式。因此，这种等效系数即具备便于进行簡便之日常計算、而且避免个人偏見的种种优点。

求(4)式中之 a_2 值，亦即(8)式的二次导数值的数字系数法，可以通过选取足够小的 r 值而有所改善，因而由(4)式中之 n 項表示 $\bar{H}(r)$ 有足够精度。这样，即有 n 个未知系数 a_0, a_1, \dots 。应用 n 或更多个不同的 r 值以及相应的 $\bar{H}(r)$ 数值，即得出整套求 a_2 的联立方程式。当方程数多于未知数时，就用最小二乘法或其它整理方法。

如果有了規則格距数值(s)的网格时，最方便的办法是使用一张带有洞眼的量板，在中央小孔讀出 $\bar{H}(0)$ ，在格距为 s 及 $s\sqrt{2}$ 处各讀4个数，并在 $s\sqrt{5}$ 格距处讀8个数。然后，利用在 s 及 $s\sqrt{2}$ 处4个讀数总和分別作为 $4\bar{H}(s)=H'(s)$ 及 $4\bar{H}(s\sqrt{2})=H'(s\sqrt{2})$ 的近似值，在 $s\sqrt{5}$ 的8个讀数和作为 $8\bar{H}(s\sqrt{5})=H'(s\sqrt{5})$ 的近似。如网格数值图之比例尺为 $1:k$ ，网格距为 r 厘米(按格距实际測量)，則 $s=kr$ 。

此时，我們只保留(4)式中的首二項，将所有其它各項略去，并对在图解法中以不同绘制平均径向曲綫的切綫的方法为根据的三个系数組，进行計算。

首先試求出通过原点的“最佳”直綫，此綫通过 $s^2, 2s^2, 5s^2$ 三点； a_0 则已确定且等于 $\bar{H}(0)$ ，因而条件方程即为：

$$\begin{cases} a_2 s^2 = \bar{H}(s) - \bar{H}(0), \\ 2a_2 s^2 = \bar{H}(s\sqrt{2}) - \bar{H}(0), \\ 5a_2 s^2 = \bar{H}(s\sqrt{5}) - \bar{H}(0). \end{cases}$$

用最小二乘法，可得

$$\frac{\partial^2 g}{\partial z^2} = -4a_2 = \frac{1}{60k^2 r^2} [64\bar{H}(0) - 2H'(s) - 4H'(s\sqrt{2}) - 5H'(s\sqrt{5})]. \quad (13)$$

其次，我們不对原点过分“偏爱”而将它与其它点等同看待，亦即通过原点以及位于 $s^2, 2s^2, 5s^2$ 这三个計算点将“最佳”直綫确定下

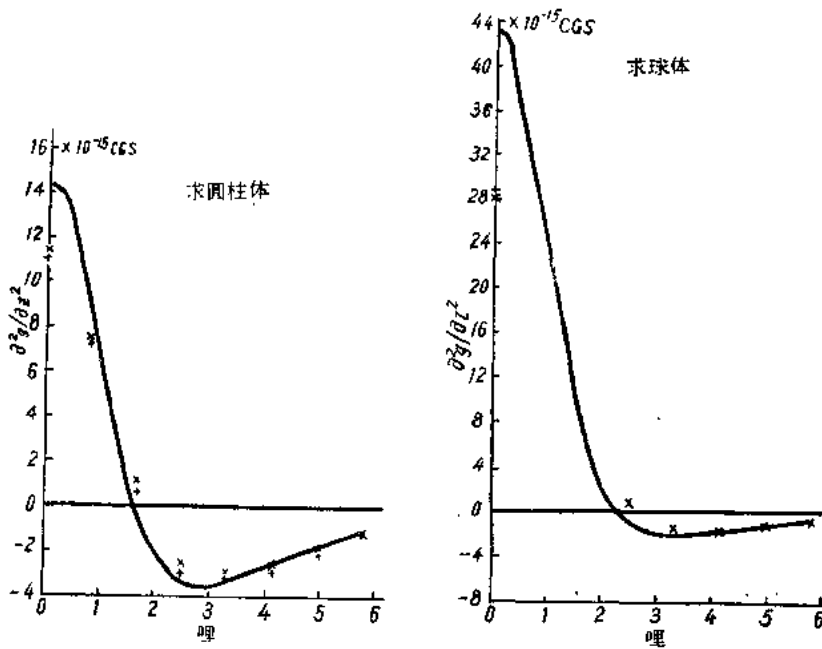


图 6 根据简单几何异常体的重力值以不同公式
算得之二次导数对比图

+ 根据 (13) 式算出之值;
x 根据 (15) 式算出之值;
——理论曲线

来。用最小二乘法，求出

$$\frac{\partial^2 g}{\partial z^2} = -4a_2 = \frac{1}{28k^2 r^2} [16\bar{H}(0) + 2H'(s) - 3H'(s\sqrt{5})]. \quad (14)$$

既然以图解法求曲线斜率时常忽略 $5s^2$ 处的点，则最后一点的权为其它点的权的 $\frac{1}{2}$ ，再次计算，结果为

$$\frac{\partial^2 g}{\partial z^2} = -4a_2 = \frac{1}{62k^2 r^2} [44\bar{H}(0) + 4H'(s) - 3H'(s\sqrt{2}) - 6H'(s\sqrt{5})]. \quad (15)$$

上面已經說明，系数組可以做出任何数目，其相对优点只有通过試驗比較来評定。試驗的方法有两种：第一种試驗是根据具有数学精度的数据对简单的异常进行試驗。这种异常理論上准确的二次导数值是有可能加以检查的。这样，就能够发现公式推导中包含的近似值以及网格的应用是否会引起太大的誤差。第二种試驗应用于实測重力資料来查明实际数据中的誤差是否会引起过于显著的干扰。

对这里发展的三組系数均施行了上述两种試驗。图 6 即表示对球体及无限水平圓柱体以二組系数进行的理論試驗的結果，两种情况的重力极大值均为1.5毫伽，面心深度均为 15,000 呎。应用之重力数据具有0.01毫伽的精度。根据在这些理論异常上的試驗表明上述三組系数同样良好。对实际数据所做之試驗曾与同一测区以图解法求出之数值比較。根据式(14)及 (15) 的系数組进行計算实际上得出了同样的图形，而且与图解法的結果十分接近，但 (13) 式的結果却較差。

球 体

現在我們提出几种简单异常类型的二次导数影响的公式及曲綫。其目的是帮助解释二次导数图的实际資料。首先考慮的异常是球体。

微分位函数，不難求出球体（质量为 m ，中心点为 P ）在原点 O $(0,0,0)$ 的二次导数公式：

$$\frac{\partial^2 g}{\partial z^2} = 3rmz(2z^2 - 3x^2 - 3y^2) / (x^2 + y^2 + z^2)^{7/2}. \quad (16)$$

式中 r 为重力常数。极值（即极大与极小值）在 $\rho = 0$ 及 $\rho = \pm (2\sqrt{3}/3)z$ 处，此处 ρ 表示沿地表之径向座标，故 $\rho^2 = x^2 + y^2$ 。在 $\rho = 0$ 点之二次导数为极大（絕對）值，并等于 $6rm/z^4$ 。其它二极值为 $-6rm[7/3]^{7/2}z^4$ 。图 7 表示由 (16) 式作出之球体二次导数。

根据公式 (16)，当 $z = (\sqrt{6/2})\rho_0$ 时， $\frac{\partial^2 g}{\partial z^2} = 0$ 。故得

$$z = (\sqrt{6/2})\rho_0 = 1.225\rho_0. \quad (17)$$

式中 ρ_0 为自球心投影在地面上的距离，或二次导数极大值至二次导数零点等值綫的距离。設 G_{∞} 为恰好位于球体中心上方之二次导数极大